

УДК 532.59:539.3

ВЛИЯНИЕ НЕРАВНОМЕРНОГО СЖАТИЯ УПРУГОЙ ПЛАСТИНЫ, ПЛАВАЮЩЕЙ НА ПОВЕРХНОСТИ ЖИДКОСТИ, НА РАЗВИТИЕ НЕСТАЦИОНАРНЫХ ИЗГИБНО-ГРАВИТАЦИОННЫХ ВОЛН

© 2021 г. И. В. Стурова^{а,*}

^а Институт гидродинамики им. М.А. Лаврентьева СО РАН, Новосибирск, Россия

*E-mail: sturova@hydro.nsc.ru

Поступила в редакцию 04.09.2020 г.

После доработки 01.10.2020 г.

Принята к публикации 01.10.2020 г.

В линейной постановке получено решение трехмерной нестационарной гидроупругой задачи о колебаниях тонкой упругой пластины, плавающей на поверхности весомерной жидкости конечной глубины, под действием нестационарного внешнего давления. Изучено влияние продольного, поперечного и сдвигового сжатия пластины на развитие изгибно-гравитационных волн. В качестве примеров рассмотрено периодическое и импульсное воздействие нагрузки.

Ключевые слова: тонкая упругая плавающая пластина, изгибно-гравитационные волны, сжимающие усилия, нестационарная нагрузка

DOI: 10.31857/S0568528121020110

Задача о развитии волновых движений в жидкости, на верхней границе которой плавает тонкая упругая пластина, активно рассматривается в последнее время в связи с изучением волновых процессов в море с плавающим ледяным покровом или искусственными плавающими платформами больших размеров [1]. Значительное количество работ посвящено исследованию изгибно-гравитационных волн (ИГВ), вызванных нестационарным воздействием внешней нагрузки на плавающую пластину (см., например, [2, 3] и указанную в них библиографию). Как правило, используется модель не напряженной упругой пластины Кирхгофа–Лява, в которой пластина характеризуется только ее изгибной жесткостью и инерцией. Однако в пластине могут существовать также растягивающие или сжимающие усилия, которые в ледяном покрове возникают под воздействием ветра, течений или температурных деформаций [4]. В трехмерном случае возможны усилия трех типов: продольные, поперечные и сдвиговые [5]. Поведение свободных ИГВ при наличии неравномерного сжатия изучено в [6], а поведение установившегося волнового движения при воздействии внешней нагрузки – в [7]. Обе эти работы отражены также в монографии [8].

В данной работе исследованы допустимые значения параметров сжатия, которые обеспечивают неразрушающее воздействие на пластину, и определены области существования ИГВ с положительной групповой скоростью. Используя интегральные преобразования Фурье и Лапласа, построено решение начально-краевой задачи о воздействии на плавающую пластину локализованной области внешнего давления. Подробно исследовано воздействие периодической и импульсной нагрузки.

1. ПОСТАНОВКА ЗАДАЧИ

Рассматривается слой идеальной несжимаемой весомерной жидкости толщиной H , который занимает область $|x| < \infty$, $|y| < \infty$, $-H \leq z \leq 0$, где x и y – горизонтальные координаты, а z – вертикальная координата, направленная вверх. Плавающая на верхней границе жидкости тонкая упругая пластина описывается моделью Кирхгофа–Лява с учетом продольных, поперечных и сдвиговых сжимающих усилий [7, 8]. Первоначально жидкость и пластина покоятся, но начиная с момента времени $t = 0$ на пластину действует нестационарное внешнее давление $P(x, y, t)$, которое является заданным. Возникающее течение жидкости полагается потенциальным, а ско-

рость частиц жидкости и прогиб пластины – малы. Предполагается, что во все моменты времени жидкость находится в контакте с пластиной.

Задача о поведении пластины и жидкости сводится к решению уравнения Лапласа для потенциала скоростей частиц жидкости $\varphi(x, y, z, t)$

$$\Delta\varphi + \partial^2\varphi/\partial z^2 = 0 (|x|, |y| < \infty, -H \leq z \leq 0), \quad \Delta \equiv \partial^2/\partial x^2 + \partial^2/\partial y^2 \quad (1.1)$$

с граничными условиями

$$D\Delta^2 w + Q_x \frac{\partial^2 w}{\partial x^2} + Q_y \frac{\partial^2 w}{\partial y^2} + 2Q_{xy} \frac{\partial^2 w}{\partial x \partial y} + M \frac{\partial^2 w}{\partial t^2} + \rho g w + \rho \frac{\partial \varphi}{\partial t} = -P \quad (z = 0) \quad (1.2)$$

$$\frac{\partial w}{\partial t} = \frac{\partial \varphi}{\partial z} (z = 0), \quad \frac{\partial \varphi}{\partial z} = 0 \quad (z = -H) \quad (1.3)$$

и начальными условиями

$$w(x, y, 0) = \varphi(x, y, z, 0) = 0 \quad (t = 0) \quad (1.4)$$

Здесь $w(x, y, t)$ – нормальный прогиб упругой пластины, $D = Eh_1^3/[12(1 - \nu^2)]$, $M = \rho_1 h$; E , ρ_1 , h , ν – модуль Юнга, плотность, толщина и коэффициент Пуассона пластины, Q_x, Q_y, Q_{xy} – продольные, поперечные и сдвиговые напряжения (сжатие при положительных значениях и растяжение при отрицательных значениях) по соответствующим направлениям, ρ – плотность жидкости, g – ускорение свободного падения. Далее будет рассматриваться действие только сжимающих усилий, т.е. $Q_x, Q_y, Q_{xy} \geq 0$.

Предполагается для простоты, что давление $P(x, y, t)$ в (1.2) имеет вид

$$P(x, y, t) = a \rho g f(r) Z(t), \quad r = \sqrt{x^2 + y^2} \quad (1.5)$$

где a – множитель, имеющий размерность длины, а безразмерные функции $f(r)$ и $Z(t)$ являются заданными.

Для решения задачи (1.1)–(1.4) используется двойное преобразование Фурье

$$W(\lambda, \mu, t) = \int_{-\infty}^{\infty} \int_{-\infty}^{\infty} w(x, y, t) \exp[-i(\lambda x + \mu y)] dx dy$$

Функция $W(\lambda, \mu, t)$ удовлетворяет обыкновенному дифференциальному уравнению

$$\dot{W} + \Omega^2 W = -\gamma(k) Z(t), \quad \gamma(k) = \frac{a \rho g k \operatorname{th}(kH) F(k)}{\rho + k M \operatorname{th}(kH)} \quad (1.6)$$

с нулевыми начальными условиями. Здесь точкой обозначена производная по времени t ,

$$\Omega^2(k, \theta) = \frac{k[Dk^4 - Q(\theta)k^2 + \rho g] \operatorname{th}(kH)}{\rho + k M \operatorname{th}(kH)}, \quad k = \sqrt{\lambda^2 + \mu^2}, \quad \theta = \arctg \frac{\mu}{\lambda} \quad (1.7)$$

$$Q(\theta) = Q_x \cos^2 \theta + Q_y \sin^2 \theta + Q_{xy} \sin(2\theta) \quad (1.8)$$

функция $F(k)$ – двойное преобразование Фурье функции $f(r)$

$$F(k) = 2\pi \int_0^{\infty} r f(r) J_0(kr) dr \quad (1.9)$$

$J_0(\cdot)$ – функция Бесселя первого рода нулевого порядка. Функция $\Omega(k, \theta)$ представляет собой дисперсионное соотношение для ИГВ, возникающих в системе жидкость – упругая пластина [7, 8].

После выполнения обратных преобразований Фурье получим

$$w(x, y, t) = \frac{1}{2\pi^2} \int_0^{\infty} \int_0^{\pi/2} k \{W_+ \cos[k(x \cos \theta + y \sin \theta)] + W_- \cos[k(x \cos \theta - y \sin \theta)]\} d\theta dk \quad (1.10)$$

где $W_{\pm}(k, \theta, t)$ – решения уравнения (1.6) соответственно при $Q = Q_{\pm} \equiv Q_x \cos^2 \theta + Q_y \sin^2 \theta \pm Q_{xy} \sin(2\theta)$. Далее остановимся подробнее на свойствах дисперсионного соотношения для ИГВ при наличии сжимающих усилий.

2. ДИСПЕРСИОННОЕ СООТНОШЕНИЕ

Зависимость $\Omega(k, \theta)$ в (1.7) устанавливает связь между волновым числом k и частотой Ω при различных значениях угловой координаты θ . Согласно (1.8) при отсутствии сдвиговых сжимающих усилий ($Q_{xy} = 0$) достаточно рассмотреть диапазон $0 \leq \theta \leq \pi/2$, а при $Q_{xy} \neq 0$ – диапазон $0 \leq \theta \leq \pi$.

В безразмерных переменных

$$\bar{D} = \frac{D}{\rho g a^4}, \quad \bar{M} = \frac{M}{\rho a}, \quad (\bar{Q}, \bar{Q}_1, \bar{Q}_2, \bar{Q}_3) = \frac{1}{\rho g a^2} (Q, Q_x, Q_y, Q_{xy})$$

$$\bar{\Omega} = \Omega \sqrt{a/g}, \quad \bar{k} = ak, \quad \bar{H} = H/a$$

соотношение (1.7) примет вид

$$\bar{\Omega} = \sqrt{\frac{\bar{k}(\bar{D}\bar{k}^4 - \bar{Q}\bar{k}^2 + 1)\text{th}(\bar{k}\bar{H})}{1 + \bar{k}\bar{M}\text{th}(\bar{k}\bar{H})}} \quad (2.1)$$

Для существования вещественного значения частоты $\bar{\Omega}$ необходимо, чтобы при всех возможных значениях θ подкоренное выражение в (2.1) было неотрицательным. Это условие гарантирует устойчивость плавающей упругой пластины и выполняется при $\bar{Q} \leq Q_* \equiv 2\sqrt{\bar{D}}$ [9]. При наличии сжимающих усилий существует также значение $Q_0 < Q_*$ такое, что при $\bar{Q} < Q_0$ групповая скорость ИГВ $c_g = d\bar{\Omega}/d\bar{k}$ положительна для всех волновых чисел $\bar{k} \geq 0$ во всем диапазоне значений угловой координаты θ [4, 8]. Этот случай назовем *нормальной дисперсией* в отличие от случая *аномальной дисперсии* при $Q_0 < \bar{Q}(\theta) < Q_*$, который характеризуется наличием для некоторых значений θ области волновых чисел, при которых групповая скорость ИГВ становится отрицательной. Значение Q_0 и соответствующее ему волновое число k_0 определяются из совместного решения двух уравнений $c_g(k_0) = 0$ и $dc_g(\bar{k})/d\bar{k}|_{\bar{k}=k_0} = 0$. Для дисперсионного соотношения (2.1) это сводится к определению вещественного корня трансцендентного уравнения

$$2\bar{M}\bar{k}^3(2\bar{D}\bar{k}^2 - \bar{Q})\text{th}^2(\bar{k}\bar{H}) + [1 + \bar{k}^2(5\bar{D}\bar{k}^2 - 3\bar{Q})]\text{th}(\bar{k}\bar{H}) + \bar{k}\bar{H}[1 + \bar{k}^2(\bar{D}\bar{k}^2 - \bar{Q})]\text{ch}^{-2}(\bar{k}\bar{H}) = 0 \quad (2.2)$$

где

$$\bar{Q} = \frac{10\bar{M}\bar{D}\bar{k}^4\text{th}^2(\bar{k}\bar{H}) + 2\bar{D}\bar{k}^3(2\bar{H}\bar{M}\bar{k}^2 + 5)\text{th}(\bar{k}\bar{H}) + \bar{H}(1 + 5\bar{D}\bar{k}^4)}{\bar{k}[3\bar{M}\bar{k}\text{th}^2(\bar{k}\bar{H}) + (3 + 2\bar{H}\bar{M}\bar{k}^2)\text{th}(\bar{k}\bar{H}) + 3\bar{H}\bar{k}]} \quad (2.3)$$

После определения k_0 значение Q_0 вычисляется из соотношения (2.3) при $\bar{k} = k_0$. В случае бесконечно глубокой жидкости соотношения (2.2) и (2.3) существенно упрощаются и приведены в работе [10].

В табл. 1 даны значения k_0 и $q_0 \equiv Q_0/\sqrt{\bar{D}}$ для различных значений толщины упругой пластины $h = 0.5, 1, 2$ м и глубины жидкости $H = 40, 100, 350$ м, а также бесконечно глубокой жидкости. Исходные параметры имеют следующие значения

$$E = 5 \times 10^9 \text{ Па}, \quad \rho = 1025 \text{ кг/м}^3, \quad \rho_1 = 922.5 \text{ кг/м}^3, \quad \nu = 0.3, \quad a = 20 \text{ м} \quad (2.4)$$

Из табл. 1 видно, что с увеличением толщины пластины h существенно уменьшается значение волнового числа k_0 , однако коэффициент q_0 меняется слабо. При глубине жидкости $H = 350$ м значения k_0 и q_0 полностью совпали со случаем бесконечно глубокой жидкости $H = \infty$.

На рис. 1 представлены дисперсионные зависимости $\bar{\Omega}(\bar{k}, \theta)$ при $q_1 = q_2 = 1.5$, $q_3 = 0.5$, где $q_i = \bar{Q}_i/\sqrt{\bar{D}}$ ($i = 1, 2, 3$) для различных значений угловой координаты θ в диапазоне $0 \leq \theta \leq \pi$ с ша-

Таблица 1

$h_1, \text{ м}$	$H = 40 \text{ м}$		$H = 100 \text{ м}$		$H = 350 \text{ м}$		$H = \infty$	
	k_0	q_0	k_0	q_0	k_0	q_0	k_0	q_0
0.5	1.553	1.487	1.533	1.477	1.533	1.477	1.533	1.477
1	0.961	1.537	0.912	1.476	0.911	1.475	0.911	1.475
2	0.594	1.615	0.552	1.489	0.541	1.472	0.541	1.472

гом $\pi/12$. Используются параметры (2.4), глубина жидкости составляет $H = 100 \text{ м}$, а толщина упругой пластины $h = 2 \text{ м}$. В силу равенства значений q_1 и q_2 при $0 \leq \theta \leq \pi/2$ выполняется $\bar{\Omega}(\bar{k}, \theta) = \bar{\Omega}(\bar{k}, \pi/2 - \theta)$, а при $\pi/2 \leq \theta \leq \pi - \bar{\Omega}(\bar{k}, \theta) = \bar{\Omega}(\bar{k}, 3\pi/2 - \theta)$. Кривые 5–7 соответствуют нормальной дисперсии, так как для них значение $q \equiv \bar{Q}/\sqrt{D} < q_0$, а кривые 1–4, для которых $q > q_0$, – аномальной дисперсии. В этом случае имеется область значений частоты $\bar{\Omega}$, при которой возникают ИГВ с отрицательной групповой скоростью. Из рис. 1 следует, что в случае нормальной дисперсии для каждого значения частоты $\bar{\Omega}$ существует единственное значение волнового числа \bar{k} , характеризующего пространственное распределение ИГВ заданной частоты. При аномальной дисперсии для некоторых значений угла θ возможно существование трех различных вещественных положительных корней уравнения $\bar{\Omega}(\bar{k}, \theta) = 0$, что означает генерацию при заданной частоте трех волн с различными волновыми числами.

Согласно условию устойчивости упругой пластины все значения q_i ($i = 1, 2, 3$) не должны превышать 2. На рис. 2а представлены кривые для ряда значений $q_3 = 0.25(j - 1)$ при $j = 1, \dots, 8$, которые ограничивают область устойчивости упругой пластины, т.е. для значений q_1 и q_2 ниже этих кривых при указанном q_3 величина $\max q(\theta) < 2$ при всех значениях $0 \leq \theta \leq \pi$, где $q(\theta) = q_1 \cos^2(\theta) + q_2 \sin^2(\theta) + q_3 \sin(2\theta)$. Рисунок 2б показывает области значений q_1 и q_2 при указанном q_3 , которые ограничивают области ИГВ с нормальной дисперсией. Рассмотрен случай бесконечно глубокой жидкости, толщина упругой пластины равна $h = 2 \text{ м}$. Согласно табл. 1 в этом случае $q_0 = 1.472$ и, следовательно, для значений q_1 и q_2 , попадающих в область ниже кривой для заданной величины q_3 , $\max q(\theta) < q_0$ при всех значениях $0 \leq \theta \leq \pi$. При $q_3 > q_0$ для всех допустимых значений q_1 и q_2 возбуждаются волны с аномальной дисперсией.

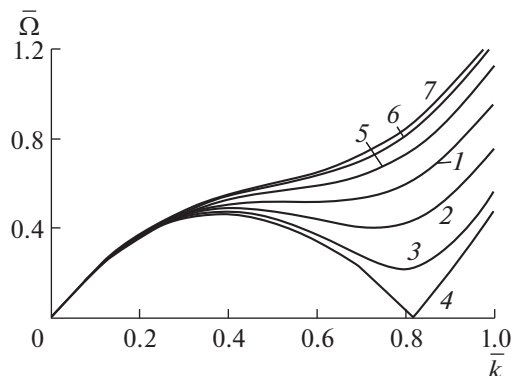


Рис. 1. Дисперсионные зависимости $\bar{\Omega}(\bar{k}, \theta)$ при различных значениях $\theta = \pi n/12$: 1 – $n = 0, 6, 12$; 2 – $n = 1, 5$; 3 – $n = 2, 4$; 4 – $n = 3$; 5 – $n = 7, 11$; 6 – $n = 8, 10$; 7 – $n = 9$.

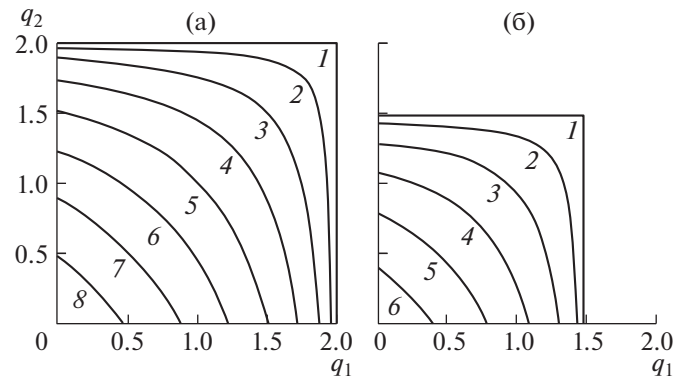


Рис. 2. Области значений q_1 и q_2 , которые при различных $q_3 = 0.25(j-1)$ для $j = 1, \dots, 8$ ограничивают зоны устойчивости упругой пластины (а) и нормальной дисперсии (б) при $h = 2$ м для бесконечно глубокой жидкости. Номер кривой соответствует значению j .

3. ДЕЙСТВИЕ НЕСТАЦИОНАРНОЙ НАГРУЗКИ

Рассмотрено два типа нагрузки: периодическая и импульсная. Для обоих типов нагрузки функция $f(r)$ в (1.5) имеет вид

$$f(r) = 1 - (r/L)^2 (r < L), \quad f(r) = 0 (r > L)$$

Двойное преобразование Фурье для этой функции в (1.9) равно

$$F(k) = 4\pi J_2(kL)/k^2$$

Результаты численных расчетов, представленные ниже, выполнены при $h = 2$ м, $H = 100$ м, $L = 25$ м.

Для периодической нагрузки в (1.5) используется зависимость $Z(t) = \sin(\omega t)$. Вертикальные прогибы упругой пластины определяются выражением (1.10), в котором

$$W_{\pm} = \gamma(k)A(\Omega_{\pm}, t), \quad A(\Omega, t) = \frac{[\omega \sin(\Omega t) - \Omega \sin(\omega t)]}{\Omega(\Omega^2 - \omega^2)}$$

Особенность, которая возникает при интегрировании (1.10), в случае $\Omega \rightarrow \omega$ легко устраняется, так как

$$\lim_{\Omega \rightarrow \omega} A(\Omega, t) = 0.5[\omega t \cos(\omega t) - \sin(\omega t)]/\omega^2$$

Результаты численных расчетов для периодической нагрузки представлены на рис. 3, 4. На рис. 3а–в показаны безразмерные значения прогиба ледяного покрова $\bar{w} = w/a$ в центре области давления $r = 0$ в зависимости от безразмерного времени $\bar{t} = t\sqrt{g/a}$ соответственно для трех значений частоты колебания нагрузки $\omega = 0.25, 0.5, 0.75 \text{ с}^{-1}$. Этим значениям частоты соответствуют следующие значения периода колебаний $T = 2\pi/\omega$: 25.13 с (17.60), 12.57 с (8.801), 8.378 с (5.867). В скобках указаны безразмерные значения периода $\bar{T} = T\sqrt{g/a}$. Рассмотрены следующие значения параметров сжатия: $q_1 = q_2 = 1.5, q_3 = 0.5$ (кривая 1), $q_1 = 1, q_2 = 0, q_3 = 0.5$ (кривая 2), $q_1 = q_2 = q_3 = 0$ (кривая 3). Видно, что колебания пластины достаточно быстро (примерно через 2–3 периода) выходят на установившийся периодический режим при всех сочетаниях параметров сжатия. Наибольшие прогибы возникают при низкочастотных колебаниях для $q_1 = q_2 = 1.5, q_3 = 0.5$. С увеличением частоты внешней нагрузки амплитуды колебаний пластины уменьшаются и слабо зависят от параметров сжатия.

Для рис. 4 использованы значения $\omega = 0.25 \text{ с}^{-1}$ и $q_1 = q_2 = 1.5, q_3 = 0.5$. На рис. 4а показаны зависимости от времени безразмерного прогиба ледяного покрова, вычисленного в различных точках на окружности $r = 2L$ при значениях угла $\theta(^{\circ}) = 0, 15, 45, 105, 135$ (кривые 1–5). Видно, что периодическое поведение по времени устанавливается также достаточно быстро и амплитуды

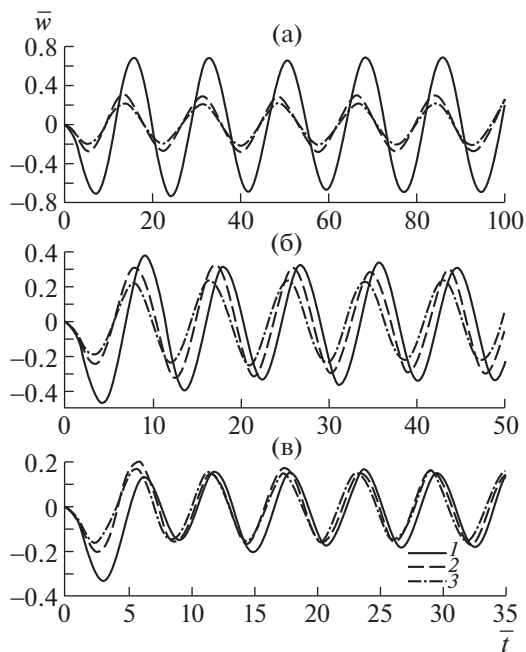


Рис. 3. Прогибы упругой пластины в зависимости от времени при $r = 0$: (а–в) – $\omega = 0.25, 0.5, 0.75 \text{ с}^{-1}$; 1 – $q_1 = q_2 = 1.5, q_3 = 0.5$; 2 – $q_1 = 1, q_2 = 0, q_3 = 0.5$; 3 – $q_1 = q_2 = q_3 = 0$.

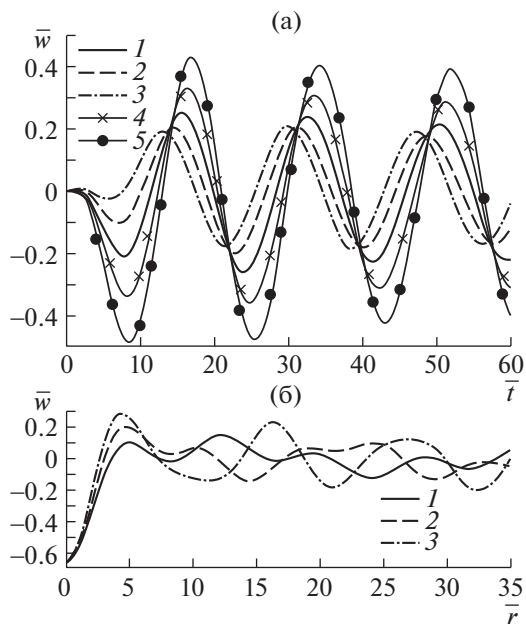


Рис. 4. Прогибы упругой пластины: (а) в зависимости от времени в различных точках окружности $r = 2L$ при $\theta(^{\circ}) = 0, 15, 45, 105, 135$ (кривые 1–5); (б) в зависимости от расстояния до центра области давления при $\bar{t} = 60$ при различных значениях угла $\theta(^{\circ}) = 0, 15, 45$ (кривые 1–3).

вертикальных прогибов существенно зависят от угла θ . Зависимость прогибов пластины от расстояния до центра пятна давления представлена на рис. 4б для различных значений угла $\theta(^{\circ}) = 0, 15, 45$ (кривые 1–3) при $\bar{t} = 60$. Видно, что с ростом расстояния r значения прогибов

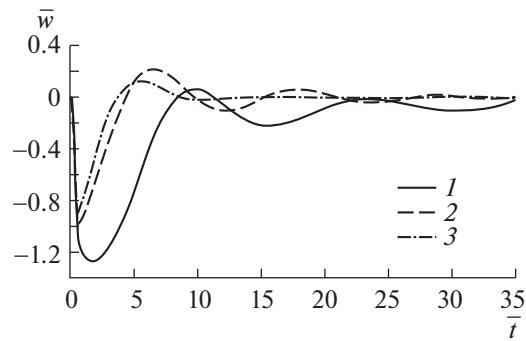


Рис. 5. Зависимость от времени вертикальных прогибов пластины в центре пятна давления $r = 0$ для $b = 0.5 \text{ с}^{-1}$ при различных параметрах сжатия: 1 – $q_1 = q_2 = 1.5, q_3 = 0.5$; 2 – $q_1 = 1, q_2 = 0, q_3 = 0.5$; 3 – $q_1 = q_2 = q_3 = 0$.

уменьшаются, но зависимость $w(r, \theta)$ не имеет выраженного периода по переменной r , так как используемые значения параметров сжатия согласно рис. 2 находятся в области, соответствующей аномальной дисперсии.

Для исследования импульсного воздействия на ледовый покров в выражении (1.5) функция $Z(t)$ имеет вид

$$Z(t) = \begin{cases} t/b & (t \leq b) \\ 2 - t/b & (b \leq t \leq 2b) \\ 0 & (t > 2b) \end{cases} \quad (3.1)$$

Вертикальные прогибы ледяного покрова для импульсного возмущения определяются соотношением (1.10), в котором

$$W_{\pm} = \frac{\gamma(k)}{b\Omega_{\pm}^3} \begin{cases} \sin(\Omega_{\pm}t) - \Omega_{\pm}t & (t \leq b) \\ \sin(\Omega_{\pm}t) + 2 \sin[\Omega_{\pm}(b - t)] + \Omega_{\pm}(t - 2b) & (b \leq t \leq 2b) \\ 2 \sin[\Omega_{\pm}(b - t)] + \sin[\Omega_{\pm}(t - 2b)] + \sin(\Omega_{\pm}t) & (t > 2b) \end{cases}$$

Поведение вязкоупругой пластины под действием треугольного импульса (3.1), равномерно распределенного по круговой области, без учета сжимающих усилий в пластине рассмотрено в [3].

Результаты для импульсной нагрузки представлены на рис. 5–7 при $b = 0.5 \text{ с}$ или в безразмерных переменных $\bar{b} = b\sqrt{g/a} = 0.35$. На рис. 5 показаны вертикальные прогибы пластины в центре пятна давления в зависимости от времени при различных параметрах сжатия: $q_1 = q_2 = 1.5, q_3 = 0.5$; $q_1 = 1, q_2 = 0, q_3 = 0.5$; $q_1 = q_2 = q_3 = 0$ (кривые 1–3). Видно, что наличие сжатия влияет как на максимальный прогиб упругой пластины, так и на скорость затухания колебаний после окончания действия нагрузки ($\bar{t} > 2\bar{b} = 0.7$). Наиболее быстрое восстановление начального невозмущенного положения пластины происходит при отсутствии сжимающих усилий.

На рис. 6 показаны прогибы пластины в зависимости от времени в различных точках окружности $r = 2L$ при $q_1 = q_2 = 1.5, q_3 = 0.5$. Кривые 1–5 соответствуют следующим значениям угла $\theta(^{\circ}) = 0, 15, 45, 105, 135$. Видно, что в первые моменты времени картина волнового движения близка к осесимметричной, но с ростом времени осевая симметрия нарушается.

Поведение вертикальных прогибов пластины при фиксированном значении времени $\bar{t} = 10$ в зависимости от расстояния до центра области давления показано на рис. 7 при $q_1 = q_2 = 1.5, q_3 = 0.5$. К указанному моменту времени внешнее воздействие уже прекратилось и происходит затухание волновых возмущений как по времени, так и по пространству. Однако в отличие от периодического поверхностного давления (ср. рис. 4) поведение функции $w(r, \theta)$ носит характер затухающих колебаний, амплитуда и период которых зависят от угла θ .

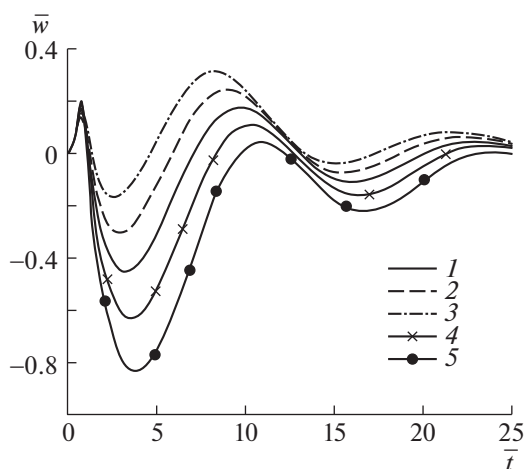


Рис. 6. Зависимость от времени вертикальных прогибов пластины в различных точках окружности $r = 2L$ при $b = 0.5 \text{ с}^{-1}$ и $q_1 = q_2 = 1.5$, $q_3 = 0.5$: $1-5 - \theta = 0, 15, 45, 105, 135^\circ$.

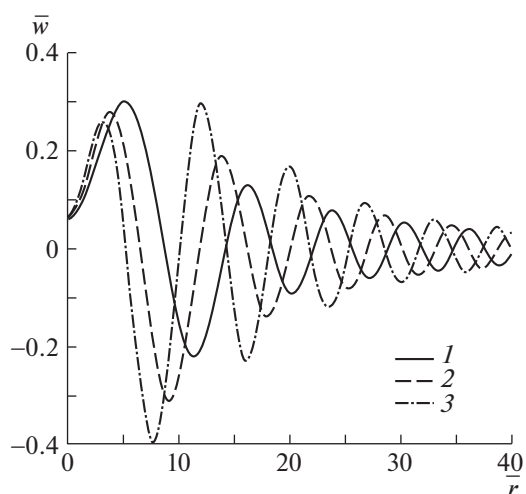


Рис. 7. Зависимость вертикальных прогибов пластины от расстояния до центра области давления при $\bar{t} = 60$, $q_1 = q_2 = 1.5$, $q_3 = 0.5$: $1-3 - \theta = 0, 15, 45^\circ$.

ЗАКЛЮЧЕНИЕ

Исследовано влияние неравномерных сжимающих усилий (продольных, поперечных и сдвиговых) в плавающей на поверхности жидкости упругой пластине на ее поведение при нестационарной внешней нагрузке. На основе анализа дисперсионного соотношения для изгибно-гравитационных волн определены границы параметров сжатия, которые обеспечивают устойчивые колебания упругой пластины и гарантируют отсутствие волновых движений с аномальной дисперсией, т.е. с отрицательными значениями групповой скорости. Рассмотрены случаи периодического и импульсного воздействия поверхностного давления. Показано, что при осесимметричной внешней нагрузке наличие неравномерного сжатия приводит к неосесимметричному поведению волнового движения.

СПИСОК ЛИТЕРАТУРЫ

1. *Squire V.A.* Synergies between VLFS hydroelasticity and sea-ice research // *J. Offshore Polar Eng.* 2008. V. 18. P. 1–13.

2. *Погорелова А.В., Козин В.М., Матюшина А.А.* Исследование напряженно-деформированного состояния ледяного покрова при взлете и посадке на него самолета // ПМТФ. 2015. Т. 56. № 5. С. 214–221. <https://doi.org/10.15372/PMTF20150520>
3. *Ху М.-Й., Чжан Ч.-Х.* Колебания льдины под действием импульса треугольной формы // ПМТФ. 2017. Т. 58. № 4. С. 163–170. <https://doi.org/10.15372/PMTF20170416>
4. *Schulkes R.M.S.M., Hosking R.J., Sneyd A.D.* Waves due to a steadily moving source on a floating ice plate. Pt. 2 // J. Fluid Mech. 1987. V. 180. P. 297–318.
5. *Timoshenko S., Woinowsky-Krieger S.* Theory of plates and shells. 2d ed., New York a.o., Mc Graw-Hill, 1959. 580 p. = *Тимошенко С.П., Войновский-Кригер С.* Пластины и оболочки. М.: Книжный дом “ЛИБРОКОМ”, 2009. 640 с.
6. *Букатов А.Е., Гончаров А.М.* Изгибно-гравитационные волны при неравномерном сжатии // Морской гидрофизический журнал. 1989. № 4. С. 35–39.
7. *Букатов А.Е., Жарков В.В., Завьялов Д.Д.* Трехмерные изгибно-гравитационные волны при неравномерном сжатии // ПМТФ. 1991. № 6. С. 51–57.
8. *Букатов А.Е.* Волны в море с плавающим ледяным покровом. Севастополь: ФГБУН МГИ. 2017. 360 с.
9. *Хейсин Д.Е.* Динамика ледяного покрова. Л.: Гидрометеиздат. 1967. 215 с.
10. *Sturova I.V.* Unsteady three-dimensional sources in deep water with an elastic cover and their applications // J. Fluid Mech. 2013. V. 730. P. 392–418. <https://doi.org/10.1017/jfm.2013.303>